

С.Н. Харламов, С.И. Сильвестров, В.Ю. Ким

Томский государственный университет, Россия

ЧИСЛЕННОЕ МОДЕЛИРОВАНИЕ ТУРБУЛЕНТНОГО ТЕПЛООБМЕНА В КРУГЛЫХ ТРУБАХ ПРИ НАЛИЧИИ УЧАСТКОВ ПРЯМОТОЧНОГО И ЗАКРУЧЕННОГО ДВИЖЕНИЯ ГАЗА

АННОТАЦИЯ

В данной работе представлены результаты расчета турбулентного теплообмена во внутренних системах с участком прямого и закрученного движения рабочей среды (жидкости, газа) по двухпараметрическим тепловой и динамической моделям турбулентности, включающим транспортные уравнения для характерных временных масштабов пульсаций скорости и температуры. Исследуются возможности моделей в предсказании пристеночных процессов сложного сдвигового неизотермического течения в широком диапазоне изменений чисел Рейнольдса, Россби. Имеется удовлетворительное согласование расчетных и опытных данных осредненных и пульсационных параметров. Анализируются механизмы перестройки структуры потока в энергетических системах.

1. ВВЕДЕНИЕ

В описании течений в конкретных технических устройствах, основным конструктивным элементом которых является труба, канал с завихрителем, вращающаяся секция и т.д., возникают серьезные сложности, вызванные анизотропией течения и теплообмена в пристеночной части. В настоящее время расчёт подобных течений осуществляют в рамках моментного подхода по двухпараметрическим тепловым и динамическим моделям турбулентности типа $(k-\varepsilon)$, $(\overline{\theta'^2} - \varepsilon_\theta)$. В таких условиях приходится решать серьезные проблемы высокой вычислительной жёсткости моделей турбулентности из-за отсутствия естественных граничных условий на стенке для ε и ε_θ . Относительно простыми в этом отношении представляются “гибкие” модели [1,2]: динамическая – Г.С. Глушко, Д. Уилкокса, С. Зиермана; тепловые – К. Кима, У. Нагано.

В настоящей работе, следуя идеям С. Спезиала, апробируется дифференциальная модель турбулентности с уравнениями для временных масштабов пульсаций динамического и скалярного полей:

$$\tau = \frac{k}{\varepsilon} \quad \text{и} \quad \tau_\theta = \frac{\overline{\theta'^2}}{\varepsilon_\theta} \quad \text{соответственно в предсказании}$$

развивающихся прямооточных и затухающих по длине вращающихся неизотермических течений в трубах. Так как возможности таких моделей почти не исследованы, в работе поставлены цели:

1) определить достоинства динамических и тепловых баз моделей $(k-L, k-\tau, \overline{\theta'^2} - \tau_\theta)$ в расчете сложных сдвиговых течений;

2) проанализировать изменения структуры течения вращающегося потока;

3) исследовать пристеночные эффекты, механизмы стабилизации процессов переноса тепла, импульса в прямооточных и закрученных внутренних течениях;

4) оценить эффективность численного алгоритма и модели в сравнении с серией известных двухпараметрических моделей типа $(k-\varepsilon)$.

2. МАТЕМАТИЧЕСКАЯ МОДЕЛЬ

2.1. Общая система определяющих уравнений

четырёхпараметрической $(K-L-\overline{\theta'^2} - \tau_\theta)$ модели

Общая система уравнений, описывающая течение и теплообмен в отсутствие действия внешних сил, объёмных источников тепла при течении в трубах, включает осреднённое уравнение Навье-Стокса, энергии, неразрывности и в тензорной форме имеет вид [3]:

$$\frac{\partial U_i}{\partial x_i} = 0; \quad (1)$$

$$U_j \frac{\partial U_i}{\partial x_j} = -\frac{1}{\rho} \frac{\partial p}{\partial x_i} + \frac{1}{\rho} \frac{\partial}{\partial x_j} \left[\mu \left(\frac{\partial U_i}{\partial x_j} + \frac{\partial U_j}{\partial x_i} \right) - \overline{\rho u_i' u_j'} \right]; \quad (2)$$

$$\rho C_p U_j \frac{\partial \Theta}{\partial x_j} = \frac{\partial}{\partial x_j} \left[\lambda \frac{\partial \Theta}{\partial x_j} \right] - \frac{\partial}{\partial x_j} \left(\rho C_p \overline{u_j' \Theta'} \right). \quad (3)$$

В записи системы (1)-(3) обозначения общеприняты. Черта над знаком функции означает осреднение по Рейнольдсу. Для замыкания системы привлекаются следующие соотношения к определению турбулентных потоков импульса $\left(-\overline{\rho u_i' u_j'} \right)$ и тепла

$$\left(-\rho C_p \overline{u_j' \Theta'} \right).$$

2.2. Модель турбулентности

Динамическая часть модели включает версии Г.С. Глушко ($k-L$) и С. Спезиала – А.Ф. Курбацкого ($k-\tau$) с уравнениями вида (тензорная форма) [1,4]:

$$\frac{Dk}{Dt} = \frac{\partial}{\partial x_j} \left[\left(v + \frac{v_t}{\sigma_k} \right) \frac{\partial k}{\partial x_j} \right] + P - C_d \frac{k^2}{L}; \quad (4)$$

$$\rho U_j \frac{\partial L}{\partial x_j} = \frac{\partial}{\partial x_j} \left[(\mu + b_1 \mu_t) \frac{\partial L}{\partial x_j} \right] - b_2 \frac{L}{k} P +$$

$$+ B b_3 \rho \sqrt{k} \left(1 - \frac{L^2}{(R-r)^2} \right); \quad (5)$$

$$P = -\overline{u_i u_j} \frac{\partial U_i}{\partial x_j}.$$

Расчеты по ($k-L$) модели позволили установить следующие значения констант [1]:

$$b_1 = 0.35; b_2 = 0.125; b_3 = 0.29; B = b_4 + \frac{b_5}{Re_t};$$

$$b_4 = 0.3; b_5 = 1.75; C_d = 0.23.$$

($k-\tau$):

$$\frac{Dk}{Dt} = \tau_{ij} \frac{\partial U_i}{\partial x_j} - \frac{k}{\tau} + \frac{\partial}{\partial x_i} \left[\left(v + \frac{v_t}{\sigma_k} \right) \frac{\partial k}{\partial x_i} \right]. \quad (6)$$

Для определения входящего в (6) динамического времени масштаба турбулентности τ используем уравнение переноса:

$$\begin{aligned} \frac{D\tau}{Dt} = & (1 - C_{\varepsilon 1}) \frac{\tau}{k} \tau_{ij} \frac{\partial U_i}{\partial x_j} + (C_{\varepsilon 2} f_2 - 1) + \\ & + \frac{2}{k} \left(v + \frac{v_t}{\sigma_{\tau 1}} \right) \frac{\partial k}{\partial x_i} \frac{\partial \tau}{\partial x_i} - \\ & - \frac{2}{\tau} \left(v + \frac{v_t}{\sigma_{\tau 2}} \right) \frac{\partial \tau}{\partial x_i} \frac{\partial \tau}{\partial x_i} + \frac{\partial}{\partial x_i} \left[\left(v + \frac{v_t}{\sigma_{\tau 2}} \right) \frac{\partial \tau}{\partial x_i} \right], \end{aligned} \quad (7)$$

где

$$-\overline{\rho u_i u_j} = \tau_{ij} = \mu_t \dot{S}_{ij} - \frac{2}{3} k \delta_{ij};$$

$$v_t = C_\mu f_\mu k \tau;$$

$$f_\mu = \left(1 + \frac{3.45}{\sqrt{Re_t}} \right) \tanh(y^+ / 70)$$

- демпфирующая пристеночная функция. Здесь и далее:

$$C_\mu = 0.09, C_{\varepsilon 1} = 1.44, \sigma_{\tau 1} = \sigma_{\tau 2} = \sigma_k = 1.36, C_{d1} = 2.0,$$

$$C_{d2} = 0.83, C_{\varepsilon 2} = 1.83, C_{d3} = 1.7, C_{d4} = C_{\varepsilon 1} = 1.44,$$

$$\sigma_{\tau 01} = \sigma_{\tau 02} = \sigma_{\theta^2} \cong 0.94.$$

Тепловая часть модели турбулентности имеет вид:

$$\begin{aligned} \frac{D\tau_\theta}{Dt} = & 2 \left(1 - C_{d3} \frac{\tau_\theta}{\tau} \right) \frac{P_\theta}{\theta^2} \tau_\theta + \frac{1}{2} (f_{\theta 1} C_{d1} - 2) - \\ & - C_{d4} \tau_\theta \frac{P}{k} + f_{\theta 1} C_{d2} \frac{\tau_\theta}{\tau} + \frac{2}{\theta^2} \left(\alpha + \frac{v_t}{\sigma_{\tau 01}} \right) \frac{\partial \theta^2}{\partial x_i} \frac{\partial \tau_\theta}{\partial x_i} \end{aligned} \quad (8)$$

$$- \frac{2}{\tau_\theta} \left(\alpha + \frac{v_t}{\sigma_{\tau 02}} \right) \frac{\partial \tau_\theta}{\partial x_i} \frac{\partial \tau_\theta}{\partial x_i} + \frac{\partial}{\partial x_i} \left[\left(\alpha + \frac{v_t}{\sigma_{\tau 02}} \right) \frac{\partial \tau_\theta}{\partial x_i} \right];$$

$$\begin{aligned} \frac{D\theta^2}{Dt} + 2u_i \theta \frac{\partial \theta}{\partial x_i} = & \frac{\partial}{\partial x_i} \left(\alpha \frac{\partial \theta^2}{\partial x_i} \right) + \\ & + \frac{\partial}{\partial x_i} \left(\frac{v_t}{\sigma_{\theta^2}} \frac{\partial \theta^2}{\partial x_i} \right) - \frac{\theta^2}{\tau}. \end{aligned} \quad (9)$$

3. МЕТОД РЕШЕНИЯ

Численные решения строятся с привлечением неявных конечно-разностных схем, схем расщепления по физическому пространству и пространственным переменным с последующим применением метода прогонки. Расчёт поля давления осуществляется по методу Л.М. Симуни, который обобщается на случай переменного по радиусу продольного градиента давления $\frac{\partial P}{\partial x}$ [4]:

$$U^{i,j} = W_s^j + Z_s^j \Pi^{i,j},$$

где

$$\Pi^{i,j} = \left[\frac{\partial P}{\partial x} \right]^{i,j}. \quad (10)$$

Расчётная область покрывается неравномерной сеткой, сгущающейся у стенки по логарифмическому закону. Тестирование алгоритма проведено на данных Лауфера, Веске, Стурова и др. Отдельные результаты расчёта пульсационных полей даны на рис. 1.2.

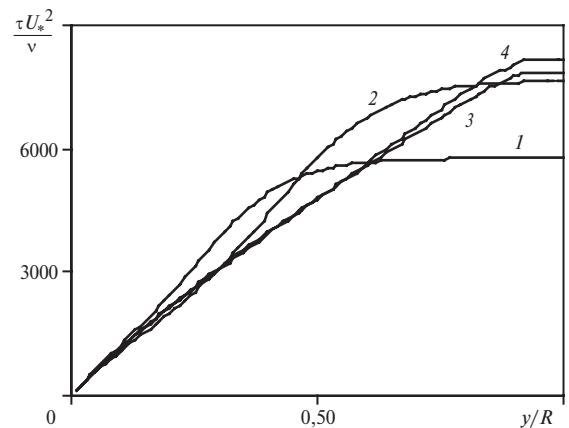


Рис. 1. Радиальные распределения безразмерного масштаба времени турбулентных пульсаций поля скорости в зависимости от продольной координаты x/D . Здесь 1 - $x/D = 3$; 2 - 8; 3 - 40; 4 - 160 ($Re = 4.25 \cdot 10^5$)

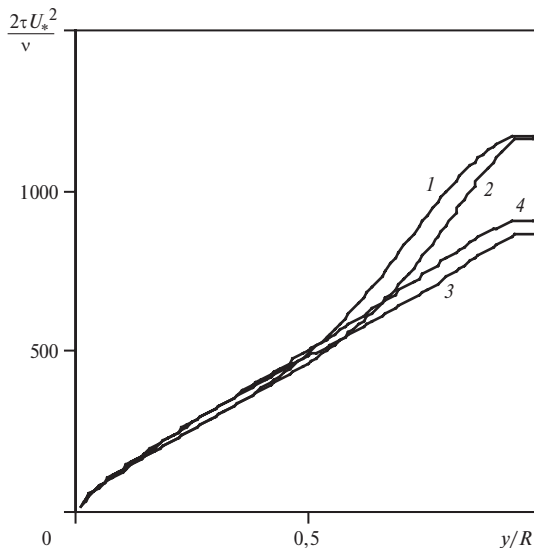


Рис.2. Радиальные профили безразмерного характерного масштаба времени турбулентных пульсаций температуры в различных сечениях по длине канала. Здесь линии 1– $x/D = 9$; 2–12; 3–24; 4–160 ($Re = 3.25 \cdot 10^4$)

Видно, что профили τ, τ_θ достаточно консервативны к возмущениям со стенки, как и интегральный масштаб L . Они быстрее устанавливаются в низкорейнольдсовой части течения, что может служить важным свойством $(k - \tau - \theta'^2 - \tau_\theta)$ модели, используемой в качестве базы в многопараметрической модели для компонент тензора напряжений Рейнольдса и турбулентных потоков скаляра (тепла и массы).

ЗАКЛЮЧЕНИЕ

Алгоритм расчета по $(k - L)$ и $(k - \tau)$ моделям существенно превосходит по экономичности модели типа $(k - \varepsilon)$. Расчет закрученного течения и перестройка поля скорости в прямоточное показывает важность взаимодействия механизмов диффузии и конвекции. Такие течения существенно анизотропны и, как показывает $(k - L)$ модель, в области до 30-40 диаметров модель вполне адекватна реальному процессу, что подтверждают опытные данные.

СПИСОК ОБОЗНАЧЕНИЙ

Θ - средняя по Рейнольдсу температура, К;
 $\overline{\theta'^2}$ - пульсационная составляющая температуры, К;
 k - кинетическая энергия турбулентности, m^2/c^2 ;
 P - слагаемое, описывающее порождение в уравнении для k, L ;

L - масштаб турбулентности, м;
 ε - скорость диссипации k , m^2/c^3 ;

$L = C_d \frac{k^2}{\varepsilon}$ - соотношение, связывающее L и k ;

τ - динамический временной масштаб турбулентности, с;
 τ_θ - временной масштаб турбулентного скалярного поля, с;

U_j - j -я компонента скорости, осредненная по Рейнольдсу, м/с;

$R - r$ - расстояние от стенки круглой трубы, м;

μ_t - турбулентная вязкость;

$\nu = \frac{\mu}{\rho}$ - кинематическая вязкость, m^2/c ;

ρ - плотность, kg/m^3 ;

$Re_t = \frac{k^2}{\varepsilon \nu}$ - турбулентное число Рейнольдса;

$-\rho \overline{u_i' u_j'}$ - тензор рейнольдсовых напряжений;

$P_\theta = -2 \overline{u_j' \theta} \frac{\partial \Theta}{\partial x_j}$ - порождение средним градиентом скаляра;

$f_{\theta 1} = \left[1 - \exp\left(-y^+ / A_{\theta 1}\right) \right]^2$ - демпфирующая функция, где

$A_{\theta 1} = 5.8$ — постоянная;

$y^+ = \frac{y u_*}{\nu}$ - безразмерная координата;

u_* - динамическая скорость, м/с;

α - коэффициент теплопроводности, m^2/c ;

W_s^j, Z_s^j - вспомогательные функции, применяющиеся в методе Л.М. Симуни;

$b_1; b_2; b_3; B; b_4; b_5; C_\mu; C_{\varepsilon 1}; \sigma_k; C_{d1}; C_{d2}; C_{\varepsilon 2}$;

$C_{d3}; C_{d4}; \sigma_{\tau \theta 1}; \sigma_{\tau \theta 2}; \sigma_{\theta'^2}$ - константы модели;

i, j - порядковый номер орта системы координат.

СПИСОК ЛИТЕРАТУРЫ

1. **Математические** модели течения и теплообмена во внутренних задачах динамики вязкого газа / А.М. Бубенчиков, Л.В. Комаровский, С.Н. Харламов. Томск: Изд-во ТГУ, 1993. С.182.
2. **Курбацкий А.Ф.** Уравнение переноса для масштаба времени турбулентного скалярного поля// ТВТ. 1999. Т.37. № 4. С. 589-594.
3. **Лойцянский Л.Г.** Механика жидкости и газа. М.: Наука, 1987. 840 с.
4. **Бубенчиков А.М., Клевцова А.В., Харламов С.Н.** Закрученный поток проводящей жидкости в узких трубах при наличии магнитного поля// ММ. 2004. Т. 16. № 3. С. 109–122.